

ANEXOS

La memoria de este trabajo se acompaña de los siguientes anexos:

- Anexo A: Modelo global
- Anexo B: Análisis de Monte-Carlo

ANEXO A

MODELO GLOBAL

Tabla A1. Estequiometría de los componentes solubles

Componente i →	S _A	S _F	S _I	S _{O₂}	S _{NH₄}	S _{NO₂}	S _{NO₃}	S _{N₂}	S _{P_{O₄}}	S _{Cl}	S _{S₂₋}	S _{S₀}	S _{T_s}	S _{S₀₄}	S _{CH₄}	S _{H_T}	
	mg DQO/l	mg DQO/l	mg DQO/l	mg O ₂ /l	mg N/l	mg N/l	mg N/l	mg N/l	mg P/l	mmol C/l	mg S/l	mg S/l	mg S/l	mg S/l	mg DQO/l	mmol H ⁺ /l	
Proceso j ↓																	
1) Hidrólisis aerobia	-	1-f _{SI}	f _{SI}	-	υ _{NH₄} ¹	-	-	-	υ _{P_{O₄}} ¹	υ _{Cl} ¹	-	-	-	-	-	υ _{H_T} ¹	
2) Hidrólisis anóxica	-	1-f _{SI}	f _{SI}	-	υ _{NH₄} ²	-	-	-	υ _{P_{O₄}} ²	υ _{Cl} ²	-	-	-	-	-	υ _{H_T} ²	
3) Hidrólisis anaerobia	-	1-f _{SI}	f _{SI}	-	υ _{NH₄} ³	-	-	-	υ _{P_{O₄}} ³	υ _{Cl} ³	-	-	-	-	-	υ _{H_T} ³	
4) Crec. aer. X _H - S _A	-1/Y _H	-	-	1-1/Y _H	υ _{NH₄} ⁴	-	-	-	υ _{P_{O₄}} ⁴	υ _{Cl} ⁴	-	-	-	-	-	υ _{H_T} ⁴	
5) Crec. anóx. - S _{NO₂} X _H - S _A	-1/Y _{H,NO₂}	-	-	-	υ _{NH₄} ⁵	28/48·(1-1/Y _{H,NO₂})	-	-	-28/48·(1-1/Y _{H,NO₂})	υ _{P_{O₄}} ⁵	υ _{Cl} ⁵	-	-	-	-	-	υ _{H_T} ⁵
6) Crec. anóx. - S _{NO₃} X _H - S _A	-1/Y _{H,NO₃}	-	-	-	υ _{NH₄} ⁶	-	28/80·(1-1/Y _{H,NO₃})	-28/80·(1-1/Y _{H,NO₃})	υ _{P_{O₄}} ⁶	υ _{Cl} ⁶	-	-	-	-	-	υ _{H_T} ⁶	
7) Crec. aer. X _H - S _F	-	-1/Y _H	-	1-1/Y _H	υ _{NH₄} ⁷	-	-	-	υ _{P_{O₄}} ⁷	υ _{Cl} ⁷	-	-	-	-	-	υ _{H_T} ⁷	
8) Crec. anóx. - S _{NO₂} X _H - S _F	-	-1/Y _{H,NO₂}	-	-	υ _{NH₄} ⁸	28/48·(1-1/Y _{H,NO₂})	-	-	-28/48·(1-1/Y _{H,NO₂})	υ _{P_{O₄}} ⁸	υ _{Cl} ⁸	-	-	-	-	-	υ _{H_T} ⁸
9) Crec. anóx. - S _{NO₃} X _H - S _F	-	-1/Y _{H,NO₃}	-	-	υ _{NH₄} ⁹	-	28/80·(1-1/Y _{H,NO₃})	-28/80·(1-1/Y _{H,NO₃})	υ _{P_{O₄}} ⁹	υ _{Cl} ⁹	-	-	-	-	-	υ _{H_T} ⁹	
10) Lisis X _H	-	-	-	-	υ _{NH₄} ¹⁰	-	-	-	υ _{P_{O₄}} ¹⁰	υ _{Cl} ¹⁰	-	-	-	-	-	υ _{H_T} ¹⁰	
11) Crec. X _{AMM}	-	-	-	1-48/14·1/Y _{AMM}	-1/Y _{AMM} -i _{NBM}	1/Y _{AMM}	-	-	υ _{P_{O₄}} ¹¹	υ _{Cl} ¹¹	-	-	-	-	-	υ _{H_T} ¹¹	
12) Lisis X _{AMM}	-	-	-	-	υ _{NH₄} ¹²	-	-	-	υ _{P_{O₄}} ¹²	υ _{Cl} ¹²	-	-	-	-	-	υ _{H_T} ¹²	
13) Crec. X _{NIT}	-	-	-	1-16/14·1/Y _{NIT}	υ _{NH₄} ¹³	-1/Y _{NIT}	1/Y _{NIT}	-	υ _{P_{O₄}} ¹³	υ _{Cl} ¹³	-	-	-	-	-	υ _{H_T} ¹³	
14) Lisis X _{NIT}	-	-	-	-	υ _{NH₄} ¹⁴	-	-	-	υ _{P_{O₄}} ¹⁴	υ _{Cl} ¹⁴	-	-	-	-	-	υ _{H_T} ¹⁴	
15) Acum. X _{PHA}	-1	-	-	-	υ _{NH₄} ¹⁵	-	-	-	Y _{P_{O₄}}	υ _{Cl} ¹⁵	-	-	-	-	-	υ _{H_T} ¹⁵	
16) Crec. aer. X _{PAO}	-	-	-	1-1/Y _{PAO}	υ _{NH₄} ¹⁶	-	-	-	υ _{P_{O₄}} ¹⁶	υ _{Cl} ¹⁶	-	-	-	-	-	υ _{H_T} ¹⁶	
17) Crec. anóx. - S _{NO₂} X _{PAO}	-	-	-	-	υ _{NH₄} ¹⁷	28/48·(1-1/Y _{PAO,NO₂})	-	-	-28/48·(1-1/Y _{PAO,NO₂})	υ _{P_{O₄}} ¹⁷	υ _{Cl} ¹⁷	-	-	-	-	-	υ _{H_T} ¹⁷
18) Crec. anóx. - S _{NO₃} X _{PAO}	-	-	-	-	υ _{NH₄} ¹⁸	-	28/80·(1-1/Y _{PAO,NO₃})	-28/80·(1-1/Y _{PAO,NO₃})	υ _{P_{O₄}} ¹⁸	υ _{Cl} ¹⁸	-	-	-	-	-	υ _{H_T} ¹⁸	
19) Acum. aer. X _{PP}	-	-	-	-Y _{PH_A}	υ _{NH₄} ¹⁹	-	-	-	-1	υ _{Cl} ¹⁹	-	-	-	-	-	υ _{H_T} ¹⁹	
20) Acum. anóx. - S _{NO₂} X _{PP}	-	-	-	-	υ _{NH₄} ²⁰	-28/48·Y _{PH_{A,NO₂}}	-	28/48·Y _{PH_{A,NO₂}}	-1	υ _{Cl} ²⁰	-	-	-	-	-	υ _{H_T} ²⁰	
21) Acum. anóx. - S _{NO₃} X _{PP}	-	-	-	-	υ _{NH₄} ²¹	-	-28/80·Y _{PH_{A,NO₃}}	-28/80·Y _{PH_{A,NO₃}}	-1	υ _{Cl} ²¹	-	-	-	-	-	υ _{H_T} ²¹	
22) Lisis X _{PAO}	-	-	-	-	υ _{NH₄} ²²	-	-	-	υ _{P_{O₄}} ²²	υ _{Cl} ²²	-	-	-	-	-	υ _{H_T} ²²	
23) Lisis X _{PH_A}	1	-	-	-	υ _{NH₄} ²³	-	-	-	υ _{P_{O₄}} ²³	υ _{Cl} ²³	-	-	-	-	-	υ _{H_T} ²³	
24) Lisis X _{PP}	-	-	-	-	υ _{NH₄} ²⁴	-	-	-	1	υ _{Cl} ²⁴	-	-	-	-	-	υ _{H_T} ²⁴	

Tabla A1 (continuación). Estequiometría de los componentes solubles

Tabla A2. Estequiometría de los componentes particulados

Componente i →	X _S	X _I	X _H	X _{AMM}	X _{NIT}	X _{PP}	X _{PHA}	X _{PAO}	X _{S0}	X _{SOB}	X _{AD}	X _{DAMO-A}	X _{DAMO-B}	X _{SST}
	mg DQO/l	mg DQO/l	mg DQO/l	mg DQO/l	mg DQO/l	mg P/l	mg DQO/l	mg DQO/l	mg S/l	mg DQO/l	mg DQO/l	mg DQO/l	mg DQO/l	mg SST/l
Proceso j ↓														
1) Hidrólisis aerobia	-1	-	-	-	-	-	-	-	-	-	-	-	-	Usst ¹
2) Hidrólisis anóxica	-1	-	-	-	-	-	-	-	-	-	-	-	-	Usst ²
3) Hidrólisis anaerobia	-1	-	-	-	-	-	-	-	-	-	-	-	-	Usst ³
4) Crec. aer. X _H - S _A	-	-	1	-	-	-	-	-	-	-	-	-	-	Usst ⁴
5) Crec. anóx. - S _{NO2} X _H - S _A	-	-	1	-	-	-	-	-	-	-	-	-	-	Usst ⁵
6) Crec. anóx. - S _{NO3} X _H - S _A	-	-	1	-	-	-	-	-	-	-	-	-	-	Usst ⁶
7) Crec. aer. X _H - S _F	-	-	1	-	-	-	-	-	-	-	-	-	-	Usst ⁷
8) Crec. anóx. - S _{NO2} X _H - S _F	-	-	1	-	-	-	-	-	-	-	-	-	-	Usst ⁸
9) Crec. anóx. - S _{NO3} X _H - S _F	-	-	1	-	-	-	-	-	-	-	-	-	-	Usst ⁹
10) Lisis X _H	1-f _{XI}	f _{XI}	-1	-	-	-	-	-	-	-	-	-	-	Usst ¹⁰
11) Crec. X _{AMM}	-	-	-	1	-	-	-	-	-	-	-	-	-	Usst ¹¹
12) Lisis X _{AMM}	1-f _{XI}	f _{XI}	-	-1	-	-	-	-	-	-	-	-	-	Usst ¹²
13) Crec. X _{NIT}	-	-	-	-	1	-	-	-	-	-	-	-	-	Usst ¹³
14) Lisis X _{NIT}	1-f _{XI}	f _{XI}	-	-	-1	-	-	-	-	-	-	-	-	Usst ¹⁴
15) Acum. X _{PHA}	-	-	-	-	-	-	-Y _{P04}	1	-	-	-	-	-	Usst ¹⁵
16) Crec. aer. X _{PAO}	-	-	-	-	-	-	-	-1/Y _{PAO}	1	-	-	-	-	Usst ¹⁶
17) Crec. anóx. - S _{NO2} X _{PAO}	-	-	-	-	-	-	-	-1/Y _{PAO,NO2}	1	-	-	-	-	Usst ¹⁷
18) Crec. anóx. - S _{NO3} X _{PAO}	-	-	-	-	-	-	-	-1/Y _{PAO,NO3}	1	-	-	-	-	Usst ¹⁸
19) Acum. aer. X _{PP}	-	-	-	-	-	-	1	-Y _{PHA}	-	-	-	-	-	Usst ¹⁹
20) Acum. anóx. - S _{NO2} X _{PP}	-	-	-	-	-	-	1	-Y _{PHA,NO2}	-	-	-	-	-	Usst ²⁰
21) Acum. anóx. - S _{NO3} X _{PP}	-	-	-	-	-	-	1	-Y _{PHA,NO3}	-	-	-	-	-	Usst ²¹
22) Lisis X _{PAO}	1-f _{XI}	f _{XI}	-	-	-	-	-	-1	-	-	-	-	-	Usst ²²
23) Lisis X _{PHA}	-	-	-	-	-	-	-	-1	-	-	-	-	-	Usst ²³
24) Lisis X _{PP}	-	-	-	-	-	-	-1	-	-	-	-	-	-	Usst ²⁴

Tabla A2 (continuación). Estequiométría de los componentes particulados

Tabla A3. Matriz de composición de los componentes solubles

Componente i →	S _A	S _F	S _I	S _{O₂}	S _{NH₄}	S _{NO₂}	S _{NO₃}	S _{N₂}	S _{P_{O₄}}	S _{Cl}	S _{S₂₋}	S _{S₀}	S _{T_S}	S _{S_{O₄}}	S _{CH₄}	S _{H_T}	
	mg DQO/l	mg DQO/l	mg DQO/l	mg O ₂ /l	mg N/l	mg N/l	mg N/l	mg N/l	mg P/l	mmol C/l	mg S/l	mg S/l	mg S/l	mg S/l	mg DQO/l	mmol H ⁺ /l	
Materiales a conservar	DQO	1	1	1	-1	0	-48/14	-64/14	-48/28	0	0	0	-1/2	-1	-2	1	0
	N	0	i _{NSF}	i _{NSI}	0	1	1	1	0	0	0	0	0	0	0	0	0
	P	0	i _{PSF}	i _{PSI}	0	0	0	0	1	0	0	0	0	0	0	0	0
	C	2/64	i _{CSF}	i _{CSI}	0	0	0	0	0	1	0	0	0	0	1/64	0	0
	S	0	0	0	0	0	0	0	0	0	1	1	1	1	0	0	0
	SST	0	0	0	0	0	0	0	0	0	0	0	0	0	0	0	0
	H ⁺	1/64	0	0	0	-1/14	1/14	1/14	0	3/31	2	2/32	0	2/64	2/32	0	-1

Tabla A4. Matriz de composición de los componentes particulados.

Tabla A5. Expresiones cinéticas

Procesos	Expresiones cinéticas
1) Hidrólisis aerobia	$\frac{dX_S}{dt} = k_h \cdot M_{O_2} \cdot \frac{X_S/X_H}{k_{XS} + X_S/X_H} \cdot X_H \cdot I_{pH1}$
2) Hidrólisis anóxica	$\frac{dX_S}{dt} = k_h \cdot I_{O_2} \cdot M_{NO_3} \cdot \frac{X_S/X_H}{k_{XS} + X_S/X_H} \cdot X_H \cdot \eta_{hid-anox} \cdot I_{pH1}$
3) Hidrólisis anaerobia	$\frac{dX_S}{dt} = k_h \cdot I_{O_2} \cdot I_{NO_3} \cdot \frac{X_S/X_H}{k_{XS} + X_S/X_H} \cdot X_H \cdot \eta_{hid-ana} \cdot I_{pH1}$
4) Crecimiento aerobio $X_H - S_A$	$\frac{dX_H}{dt} = \mu_h \cdot M_{O_2} \cdot M_{SA} \cdot \frac{S_A}{S_A + S_F} \cdot M_{NH4} \cdot M_{PO4} \cdot X_H \cdot I_{pH1}$
5) Crecimiento anóxico - $S_{NO_2} X_H - S_A$	$\frac{dX_H}{dt} = \mu_h \cdot I_{O_2} \cdot M_{NO_2} \cdot \frac{S_{NO_2}}{S_{NO_2} + S_{NO_3}} \cdot M_{SA} \cdot \frac{S_A}{S_A + S_F} \cdot M_{NH4} \cdot M_{PO4} \cdot X_H \cdot \eta_{NO_2-H} \cdot I_{pH1}$
6) Crecimiento anóxico - $S_{NO_3} X_H - S_A$	$\frac{dX_H}{dt} = \mu_h \cdot I_{O_2} \cdot M_{NO_3} \cdot \frac{S_{NO_3}}{S_{NO_2} + S_{NO_3}} \cdot M_{SA} \cdot \frac{S_A}{S_A + S_F} \cdot M_{NH4} \cdot M_{PO4} \cdot X_H \cdot \eta_{NO_3-H} \cdot I_{pH1}$
7) Crecimiento aerobio $X_H - S_F$	$\frac{dX_H}{dt} = \mu_h \cdot M_{O_2} \cdot M_{SF} \cdot \frac{S_F}{S_A + S_F} \cdot M_{NH4} \cdot M_{PO4} \cdot X_H \cdot I_{pH1}$
8) Crecimiento anóxico - $S_{NO_2} X_H - S_F$	$\frac{dX_H}{dt} = \mu_h \cdot I_{O_2} \cdot M_{NO_2} \cdot \frac{S_{NO_2}}{S_{NO_2} + S_{NO_3}} \cdot M_{SF} \cdot \frac{S_F}{S_A + S_F} \cdot M_{NH4} \cdot M_{PO4} \cdot X_H \cdot \eta_{NO_2-H} \cdot I_{pH1}$
9) Crecimiento anóxico - $S_{NO_3} X_H - S_F$	$\frac{dX_H}{dt} = \mu_h \cdot I_{O_2} \cdot M_{NO_3} \cdot \frac{S_{NO_3}}{S_{NO_2} + S_{NO_3}} \cdot M_{SF} \cdot \frac{S_F}{S_A + S_F} \cdot M_{NH4} \cdot M_{PO4} \cdot X_H \cdot \eta_{NO_3-H} \cdot I_{pH1}$
10) Lisis X_H	$\frac{dX_H}{dt} = b_h \cdot X_H$

Tabla A5 (continuación). Expresiones cinéticas

Procesos	Expresiones cinéticas
11) Crecimiento X_{AMM}	$\frac{dX_{AMM}}{dt} = \mu_{AMM} \cdot M_{O_2} \cdot M_{Cl} \cdot M_{NH_4} \cdot M_{PO_4} \cdot X_{AMM} \cdot I_{[HNO_2]} \cdot I_{pH1}$
12) Lisis X_{AMM}	$\frac{dX_{AMM}}{dt} = b_{AMM} \cdot X_{AMM}$
13) Crecimiento X_{NIT}	$\frac{dX_{NIT}}{dt} = \mu_{NIT} \cdot M_{O_2} \cdot M_{Cl} \cdot M_{NO_2} \cdot M_{NH_4} \cdot M_{PO_4} \cdot X_{NIT} \cdot I_{[HNO_2]} \cdot I_{pH2}$
14) Lisis X_{NIT}	$\frac{dX_{NIT}}{dt} = b_{NIT} \cdot X_{NIT}$
15) Acumulación X_{PHA}	$\frac{dX_{PHA}}{dt} = q_{PHA} \cdot M_{SA} \cdot \frac{X_{PP}/X_{PAO}}{k_{PP} + X_{PP}/X_{PAO}} \cdot X_{PAO} \cdot I_{pH1}$
16) Crecimiento aerobio X_{PAO}	$\frac{dX_{PAO}}{dt} = \mu_{PAO} \cdot M_{O_2} \cdot \frac{X_{PHA}/X_{PAO}}{k_{PHAA} + X_{PHA}/X_{PAO}} \cdot M_{NH_4} \cdot M_{PO_4} \cdot X_{PAO} \cdot I_{pH1}$
17) Crecimiento anóxico - S_{NO_2} X_{PAO}	$\frac{dX_{PAO}}{dt} = \mu_{PAO} \cdot I_{O_2} \cdot M_{NO_2} \cdot \frac{S_{NO_2}}{S_{NO_2} + S_{NO_3}} \cdot \frac{X_{PHA}/X_{PAO}}{k_{PHAA} + X_{PHA}/X_{PAO}} \cdot M_{NH_4} \cdot M_{PO_4} \cdot X_{PAO} \cdot \eta_{NO_2-PAO} \cdot I_{pH1}$
18) Crecimiento anóxico - S_{NO_3} X_{PAO}	$\frac{dX_{PAO}}{dt} = \mu_{PAO} \cdot I_{O_2} \cdot M_{NO_3} \cdot \frac{S_{NO_3}}{S_{NO_2} + S_{NO_3}} \cdot \frac{X_{PHA}/X_{PAO}}{k_{PHAA} + X_{PHA}/X_{PAO}} \cdot M_{NH_4} \cdot M_{PO_4} \cdot X_{PAO} \cdot \eta_{NO_3-PAO} \cdot I_{pH1}$
19) Acumulación aerobia X_{PP}	$\frac{dX_{PP}}{dt} = q_{PP} \cdot M_{O_2} \cdot \frac{X_{PHA}/X_{PAO}}{k_{PHAPP} + X_{PHA}/X_{PAO}} \cdot \frac{S_{PO_4}}{k_{PS} + S_{PO_4}} \cdot \frac{k_{maxPP} - X_{PP}/X_{PAO}}{k_{IPP} + k_{maxPP} - X_{PP}/X_{PAO}} \cdot X_{PAO} \cdot I_{pH1}$
20) Acumulación anóxica - S_{NO_2} X_{PP}	$\frac{dX_{PP}}{dt} = q_{PP} \cdot I_{O_2} \cdot M_{NO_2} \cdot \frac{S_{NO_2}}{S_{NO_2} + S_{NO_3}} \cdot \frac{X_{PHA}/X_{PAO}}{k_{PHAPP} + X_{PHA}/X_{PAO}} \cdot \frac{S_{PO_4}}{k_{PS} + S_{PO_4}} \cdot \frac{k_{maxPP} - X_{PP}/X_{PAO}}{k_{IPP} + k_{maxPP} - X_{PP}/X_{PAO}} \cdot X_{PAO} \cdot \eta_{NO_2-PAO} \cdot I_{pH1}$

Tabla A5 (continuación). Expresiones cinéticas

Procesos	Expresiones cinéticas
21) Acumulación anóxica - S_{NO_3} X_{PP}	$\frac{dX_{PP}}{dt} = q_{PP} \cdot I_{O_2} \cdot M_{NO_3} \cdot \frac{S_{NO_3}}{S_{NO_2} + S_{NO_3}} \cdot \frac{X_{PHA}/X_{PAO}}{k_{PHAPP} + X_{PHA}/X_{PAO}} \cdot \frac{S_{PO_4}}{k_{PS} + S_{PO_4}} \cdot \frac{k_{maxPP} - X_{PP}/X_{PAO}}{k_{IPP} + k_{maxPP} - X_{PP}/X_{PAO}} \cdot X_{PAO} \cdot \eta_{NO_3-PAO} \cdot I_{pH1}$
22) Lisis X_{PAO}	$\frac{dX_{PAO}}{dt} = b_{PAO} \cdot X_{PAO}$
23) Lisis X_{PHA}	$\frac{dX_{PHA}}{dt} = b_{PHA} \cdot X_{PHA}$
24) Lisis X_{PP}	$\frac{dX_{PP}}{dt} = b_{PP} \cdot X_{PP}$
25) Crecimiento X_{SOB} - S_{S2}	$\frac{dX_{SOB}}{dt} = \mu_{SOB} \cdot M_{O_2} \cdot M_{S2} \cdot \left(1 - \left(\frac{X_{S0}/X_{SOB}}{[X_{S0}/X_{SOB}]_{max}}\right)^\alpha\right) \cdot M_{CI} \cdot M_{NH_4} \cdot M_{PO_4} \cdot X_{SOB} \cdot I_{[H_2S]} \cdot I_{pH1}$
26) Crecimiento X_{SOB} - S_{S0}	$\frac{dX_{SOB}}{dt} = \mu_{SOB} \cdot M_{O_2} \cdot I_{S2} \cdot \frac{X_{S0}/X_{SOB}}{k_{S0} + X_{S0}/X_{SOB}} \cdot \frac{X_{S0}/X_{SOB}}{X_{S0}/X_{SOB} + S_{TS}} \cdot M_{CI} \cdot M_{NH_4} \cdot M_{PO_4} \cdot X_{SOB} \cdot \eta_{S0} \cdot I_{[H_2S]} \cdot I_{pH1}$
27) Crecimiento X_{SOB} - S_{TS}	$\frac{dX_{SOB}}{dt} = \mu_{SOB} \cdot M_{O_2} \cdot I_{S2} \cdot M_{TS} \cdot \frac{S_{TS}}{X_{S0}/X_{SOB} + S_{TS}} \cdot M_{CI} \cdot M_{NH_4} \cdot M_{PO_4} \cdot X_{SOB} \cdot \eta_{TS} \cdot I_{[H_2S]} \cdot I_{pH1}$
28) Lisis X_{SOB}	$\frac{dX_{SOB}}{dt} = b_{SOB} \cdot X_{SOB}$
29) Lisis X_{S0}	$\frac{dX_{S0}}{dt} = b_{S0} \cdot X_{S0}$
30) Crecimiento X_{AD} - S_{S2} - S_{NO_3}	$\frac{dX_{AD}}{dt} = \mu_{AD} \cdot \eta_{AD1,1} \cdot I_{O_2} \cdot \frac{S_{NO_3}}{k_{NO_3,1} + S_{NO_3}} \cdot \frac{S_{NO_3}}{S_{NO_3} + S_{NO_2}} \cdot M_{S2} \cdot M_{CI} \cdot M_{NH_4} \cdot M_{PO_4} \cdot X_{AD} \cdot I_{[HNO_2]} \cdot I_{[H_2S]} \cdot I_{pH1}$

Tabla A5 (continuación). Expresiones cinéticas

Procesos	Expresiones cinéticas
31) Crecimiento $X_{AD} - S_{S0} - S_{NO3}$	$\frac{dX_{AD}}{dt} = \mu_{AD} \cdot \eta_{AD1,2} \cdot I_{O2} \cdot \frac{S_{NO3}}{k_{NO3,1} + S_{NO3}} \cdot \frac{S_{NO3}}{S_{NO3} + S_{NO2}} \cdot I_{S2} \cdot M_{S0} \cdot \frac{S_{S0}}{S_{S0} + S_{TS}} \cdot M_{CI} \cdot M_{NH4} \cdot M_{PO4} \cdot X_{AD} \cdot I_{[HNO_2]} \cdot I_{[H_2S]} \cdot I_{pH1}$
32) Crecimiento $X_{AD} - S_{S2} - S_{NO2}$	$\frac{dX_{AD}}{dt} = \mu_{AD} \cdot \eta_{AD1,3} \cdot I_{O2} \cdot \frac{S_{NO2}}{k_{NO2,1} + S_{NO2}} \cdot \frac{S_{NO2}}{S_{NO3} + S_{NO2}} \cdot M_{S2} \cdot M_{CI} \cdot M_{NH4} \cdot M_{PO4} \cdot X_{AD} \cdot I_{[HNO_2]} \cdot I_{[H_2S]} \cdot I_{pH1}$
33) Crecimiento $X_{AD} - S_{S0} - S_{NO2}$	$\frac{dX_{AD}}{dt} = \mu_{AD} \cdot \eta_{AD1,4} \cdot I_{O2} \cdot \frac{S_{NO2}}{k_{NO2,1} + S_{NO2}} \cdot \frac{S_{NO2}}{S_{NO3} + S_{NO2}} \cdot I_{S2} \cdot M_{S0} \cdot \frac{S_{S0}}{S_{S0} + S_{TS}} \cdot M_{CI} \cdot M_{NH4} \cdot M_{PO4} \cdot X_{AD} \cdot I_{[HNO_2]} \cdot I_{[H_2S]} \cdot I_{pH1}$
34) Crecimiento $X_{AD} - S_{TS} - S_{NO3}$	$\frac{dX_{AD}}{dt} = \mu_{AD} \cdot \eta_{AD2,1} \cdot I_{O2} \cdot \frac{S_{NO3}}{k_{NO3,2} + S_{NO3}} \cdot \frac{S_{NO3}}{S_{NO3} + S_{NO2}} \cdot I_{S2} \cdot M_{TS} \cdot \frac{S_{TS}}{S_{S0} + S_{TS}} \cdot M_{CI} \cdot M_{NH4} \cdot M_{PO4} \cdot X_{AD} \cdot I_{[HNO_2]} \cdot I_{[H_2S]} \cdot I_{pH1}$
35) Crecimiento $X_{AD} - S_{TS} - S_{NO2}$	$\frac{dX_{AD}}{dt} = \mu_{AD} \cdot \eta_{AD2,2} \cdot I_{O2} \cdot \frac{S_{NO2}}{k_{NO2,2} + S_{NO2}} \cdot \frac{S_{NO2}}{S_{NO3} + S_{NO2}} \cdot I_{S2} \cdot M_{TS} \cdot \frac{S_{TS}}{S_{S0} + S_{TS}} \cdot M_{CI} \cdot M_{NH4} \cdot M_{PO4} \cdot X_{AD} \cdot I_{[HNO_2]} \cdot I_{[H_2S]} \cdot I_{pH1}$
36) Lisis X_{AD}	$\frac{dX_{AD}}{dt} = b_{AD} \cdot X_{AD}$
37) Crecimiento X_{DAMO-A}	$\frac{dX_{DAMO-A}}{dt} = \mu_{DAMO-A} \cdot I_{O2} \cdot M_{NO3} \cdot M_{CH4} \cdot M_{NH4} \cdot M_{PO4} \cdot X_{DAMO-A} \cdot I_{[HNO_2]} \cdot I_{pH1}$
38) Lisis X_{DAMO-A}	$\frac{dX_{DAMO-A}}{dt} = b_{DAMO-A} \cdot X_{DAMO-A}$
39) Crecimiento X_{DAMO-B}	$\frac{dX_{DAMO-B}}{dt} = \mu_{DAMO-B} \cdot I_{O2} \cdot M_{NO2} \cdot M_{CH4} \cdot M_{NH4} \cdot M_{PO4} \cdot X_{DAMO-B} \cdot I_{[HNO_2]} \cdot I_{pH1}$
40) Lisis X_{DAMO-B}	$\frac{dX_{DAMO-B}}{dt} = b_{DAMO-B} \cdot X_{DAMO-B}$

Tabla A5 (continuación). Expresiones cinéticas

Procesos	Expresiones cinéticas
41) Ox. química S_{S2}	$\frac{dS_{S2}}{dt} = \frac{k_{H_2Sc} + k_{HS^-} c \cdot K_{a1} \cdot 10^{pH}}{1 + K_{a1} \cdot 10^{pH}} \cdot \theta_{ox}^{T-20} \cdot S_{S2}^{mc} \cdot S_{O2}^{nc}$
42) Desabsorción de S_{O2}	$\frac{dS_{O2}}{dt} = K_{La,O2} \cdot (S_{O2} - S_{O2}^*)$
43) Desabsorción de $S_{[NH3]}$	$\frac{dS_{[NH3]}}{dt} = K_{La,NH3} \cdot (S_{[NH3]} - S_{[NH3]}^*)$
44) Desabsorción de S_{N2}	$\frac{dS_{N2}}{dt} = K_{La,N2} \cdot (S_{N2} - S_{N2}^*)$
45) Desabsorción de $S_{[CO2]}$	$\frac{dS_{[CO2]}}{dt} = K_{La,CO2} \cdot (S_{[CO2]} - S_{[CO2]}^*)$
46) Desabsorción de $S_{[H2S]}$	$\frac{dS_{[H2S]}}{dt} = K_{La,H2S} \cdot (S_{[H2S]} - S_{[H2S]}^*)$
47) Desabsorción de S_{CH4}	$\frac{dS_{CH4}}{dt} = K_{La,CH4} \cdot (S_{CH4} - S_{CH4}^*)$

ANEXO B

ANÁLISIS DE MONTE-CARLO

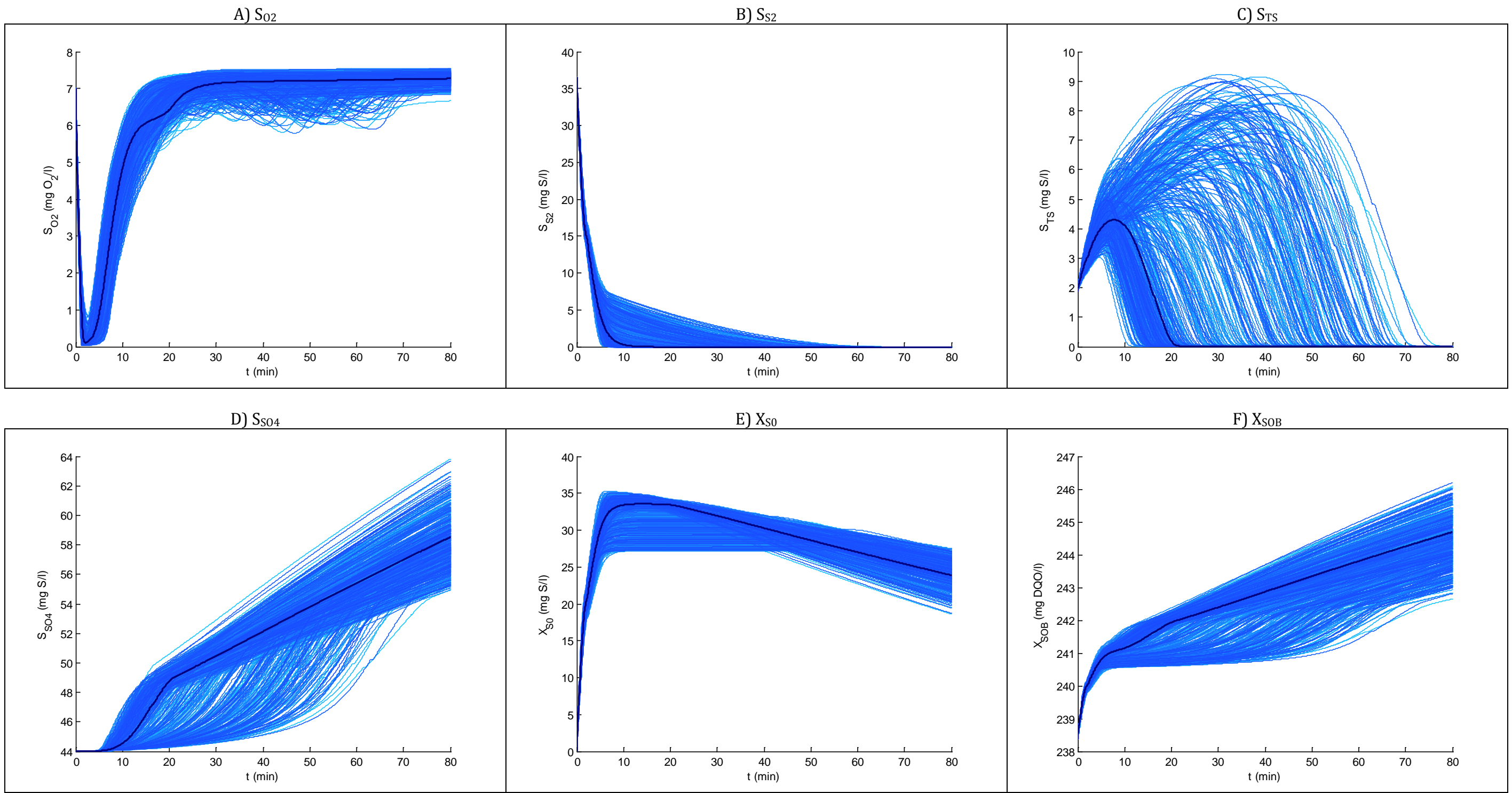


Figura B1. Análisis de Monte-Carlo del modelo de los microorganismos sulfuro-oxidantes

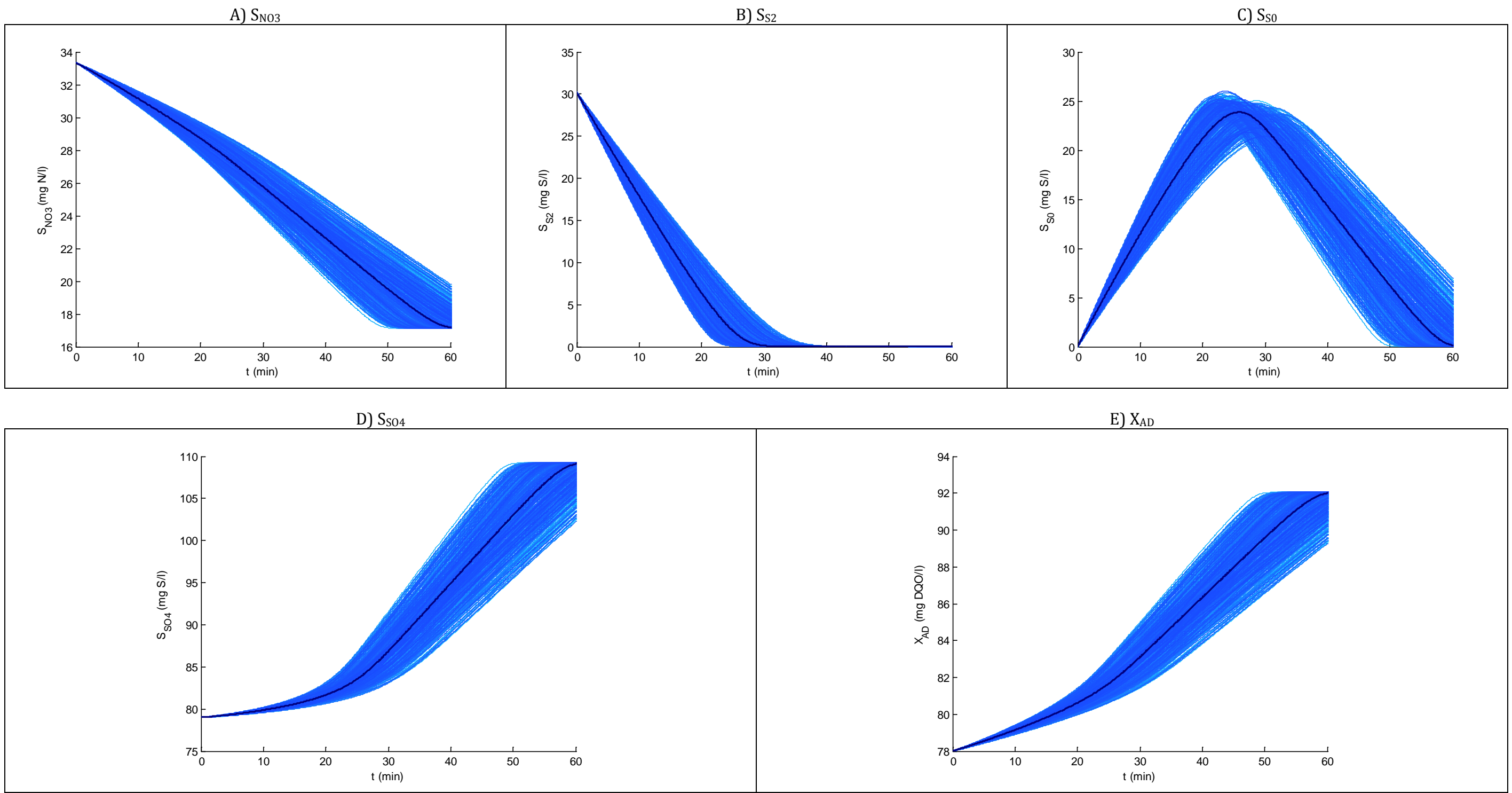


Figura B2. Análisis de Monte-Carlo del modelo de los microorganismos autótrofos desnitrificantes para el ensayo nº1

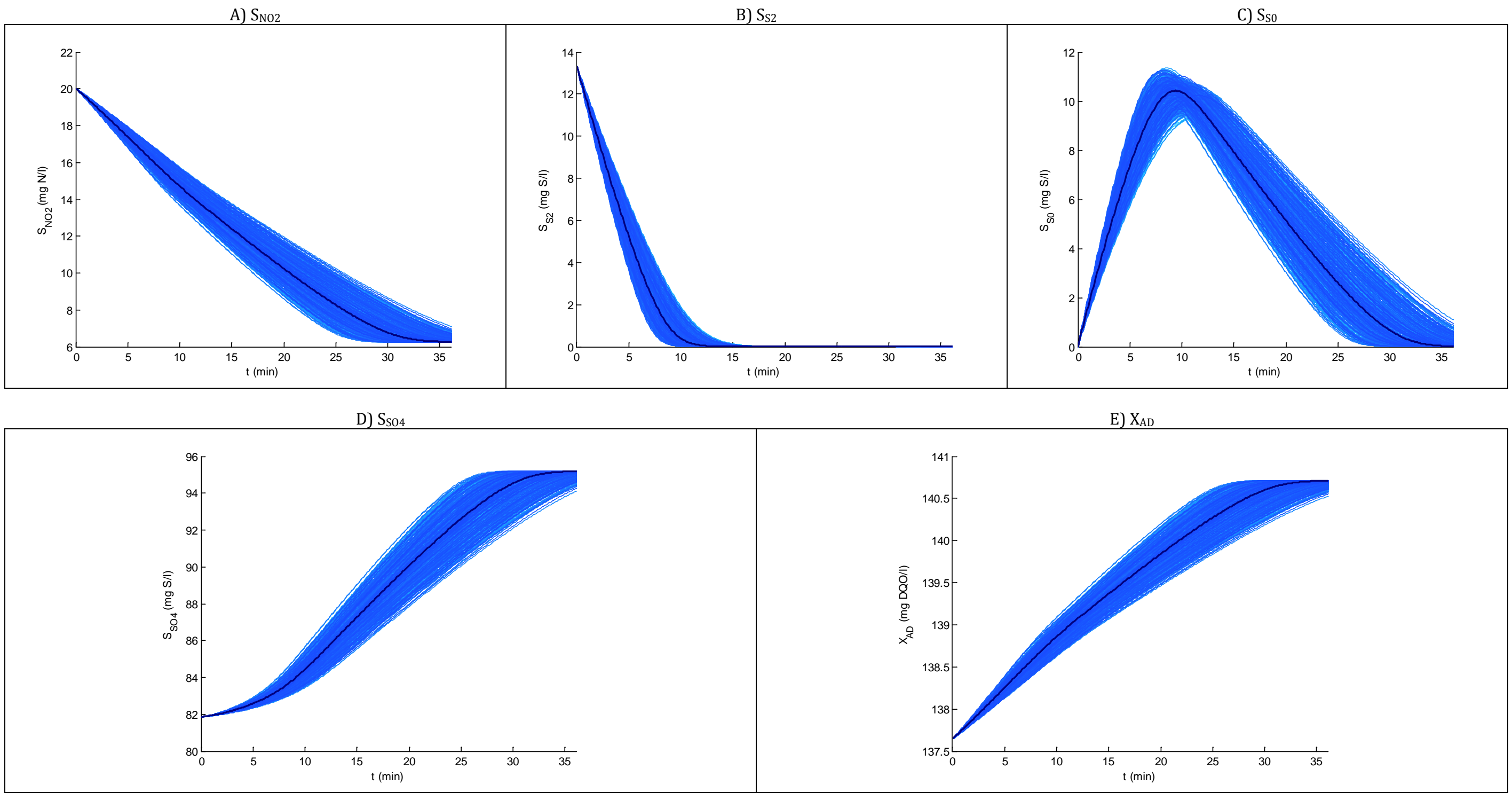


Figura B3. Análisis de Monte-Carlo del modelo de los microorganismos autótrofos desnitrificantes para el ensayo n°2

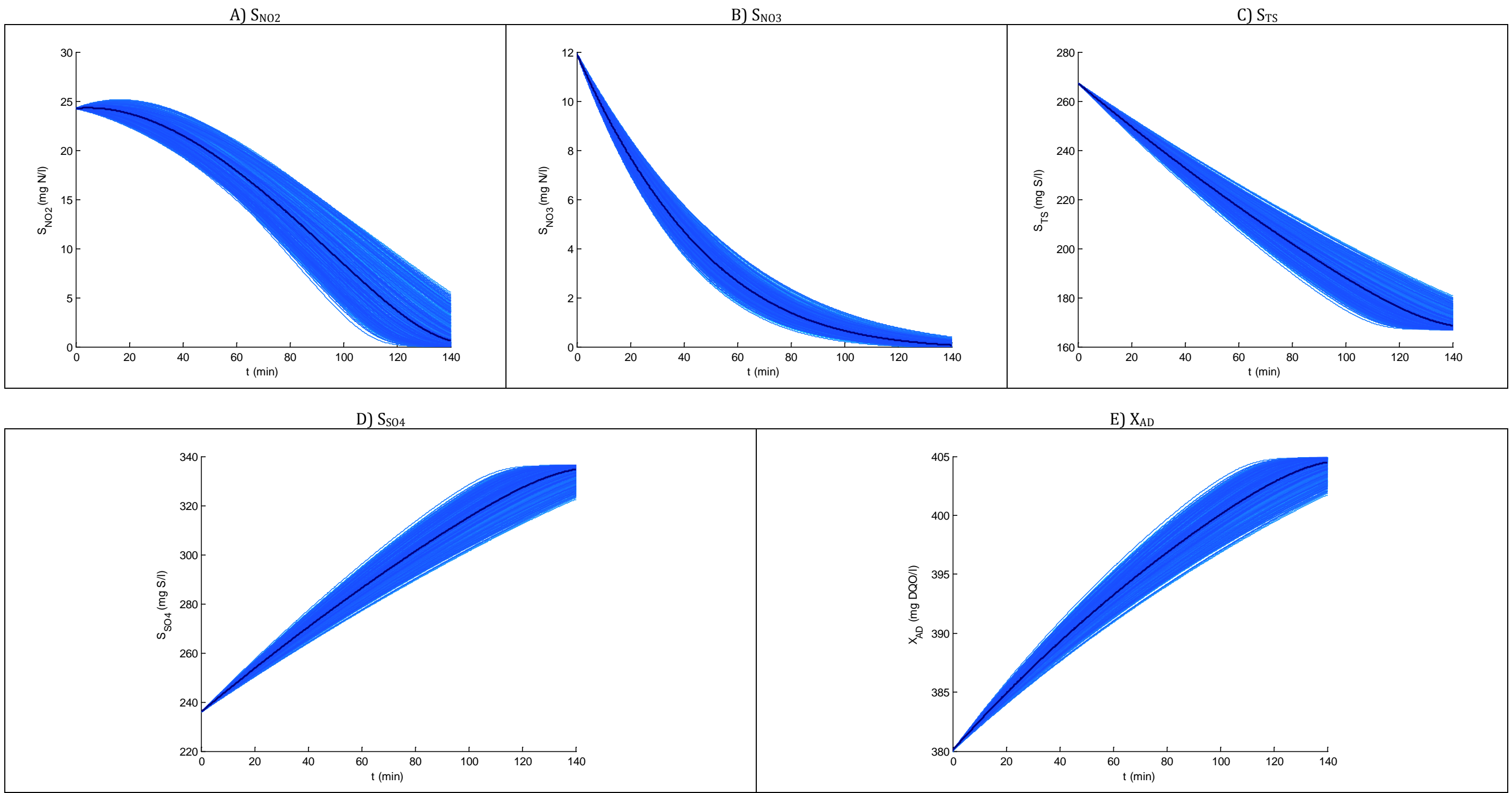


Figura B4. Análisis de Monte-Carlo del modelo de los microorganismos autótrofos desnitrificantes para el ensayo n°3